

Fig. 3

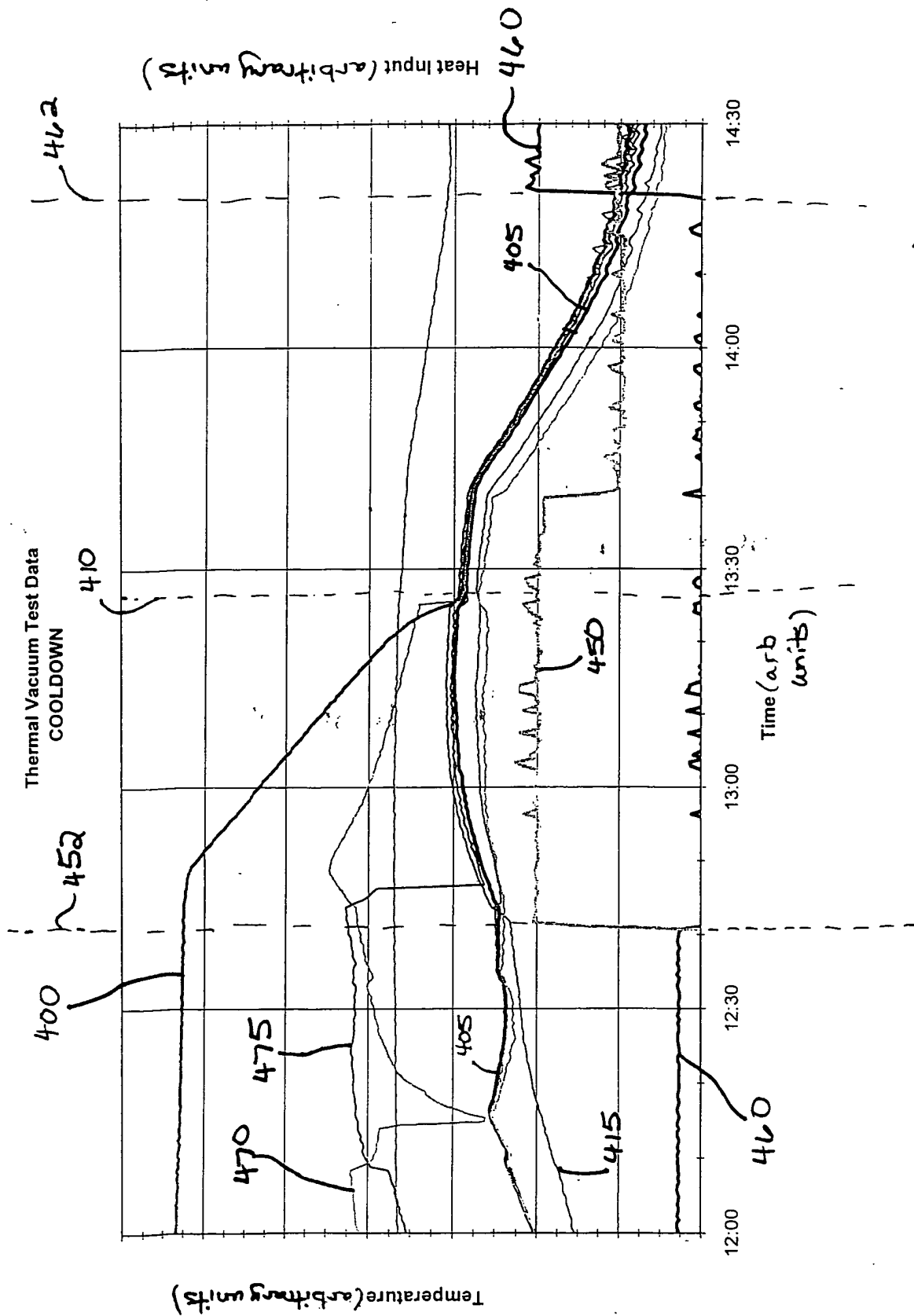


Fig. 4

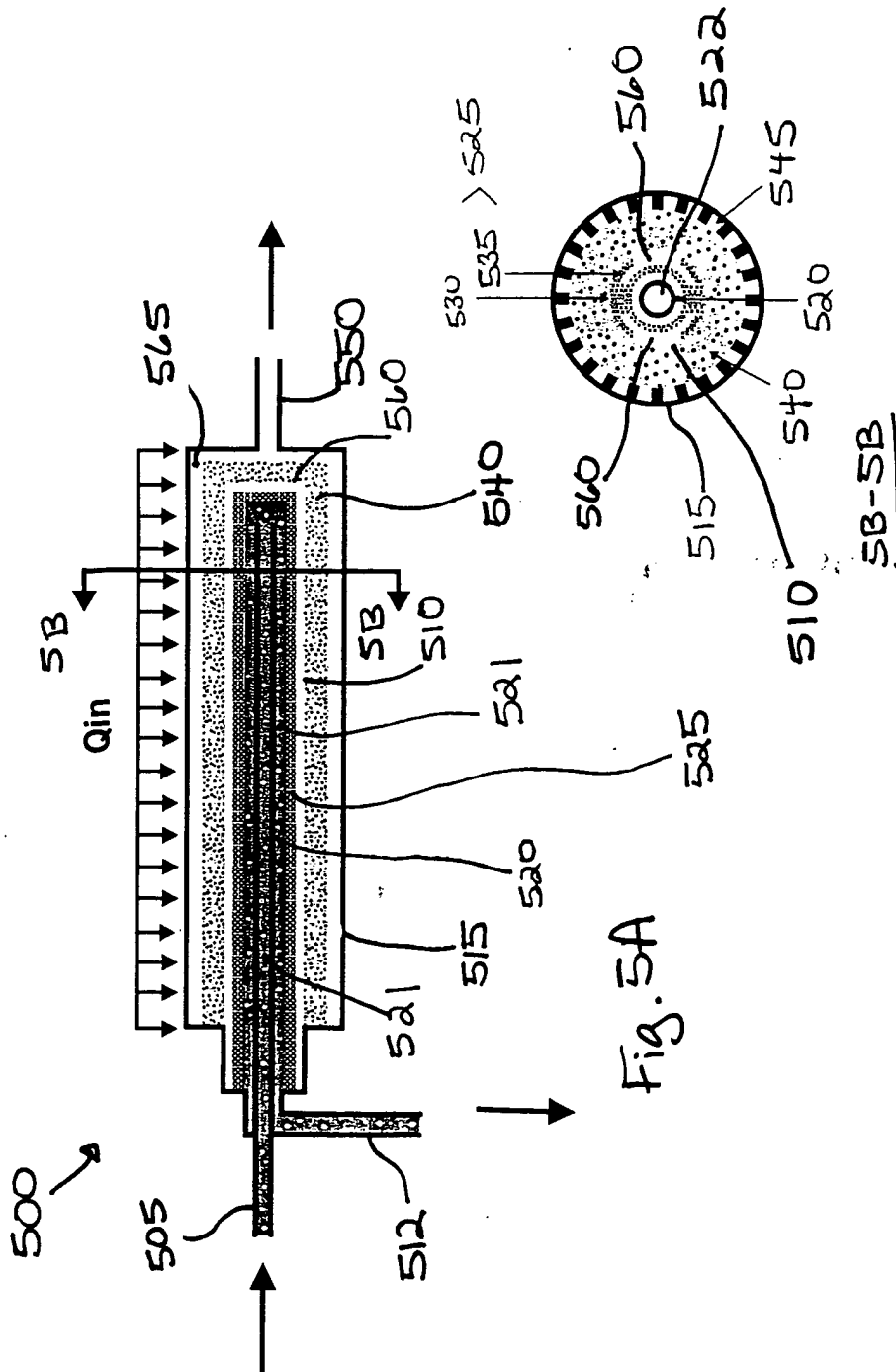


Fig. 5B

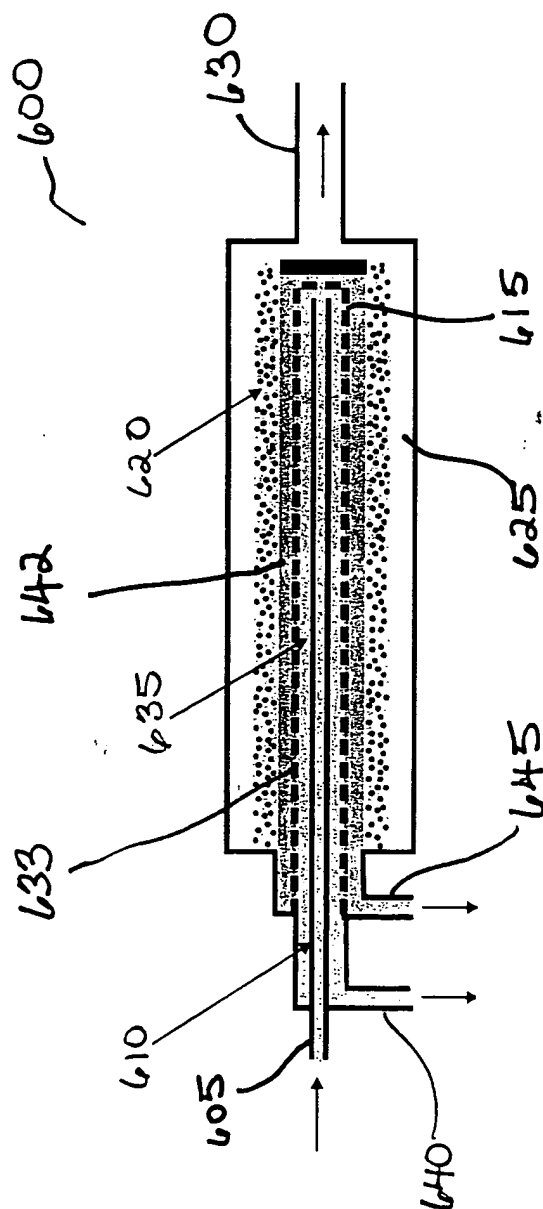
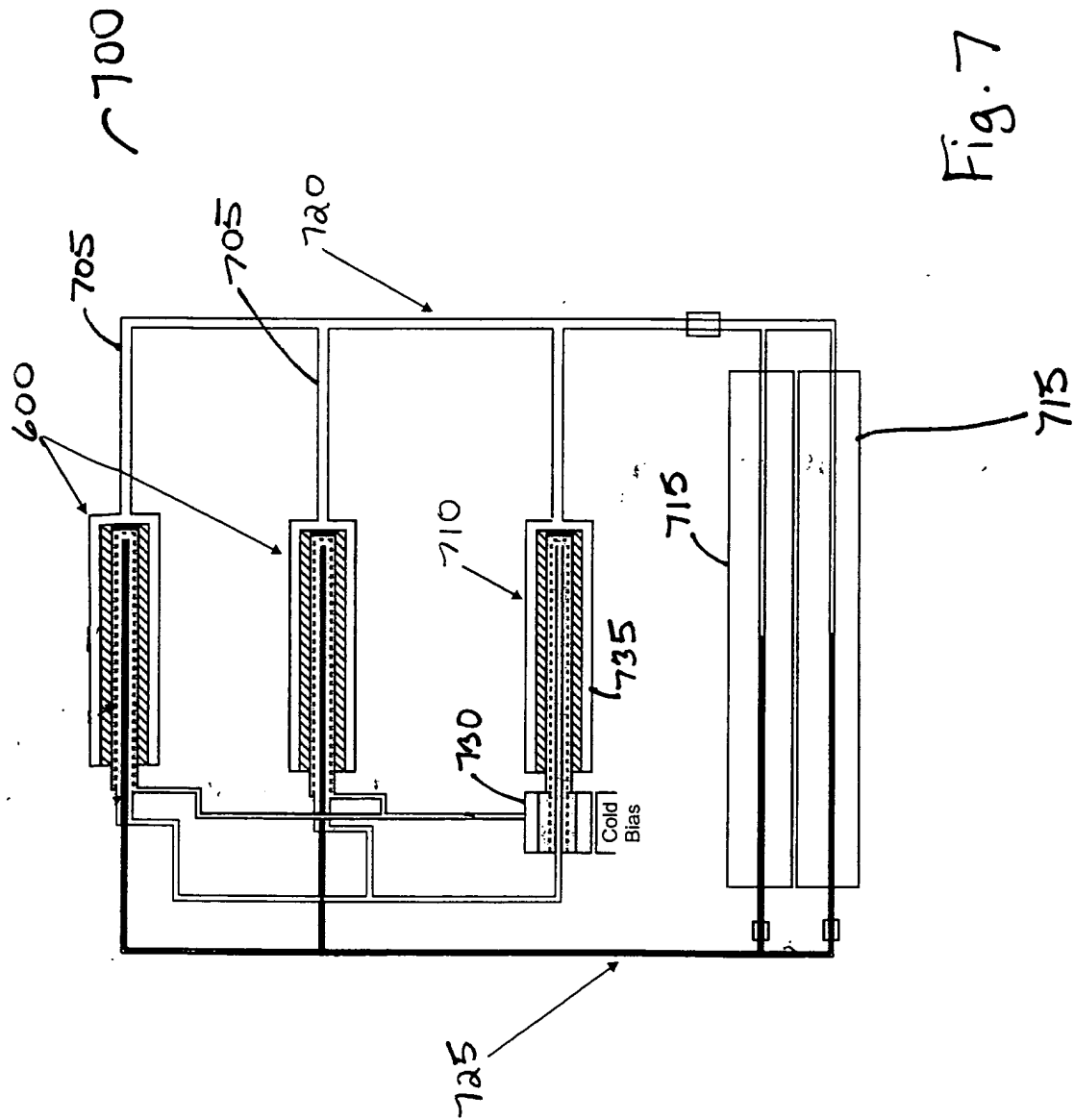
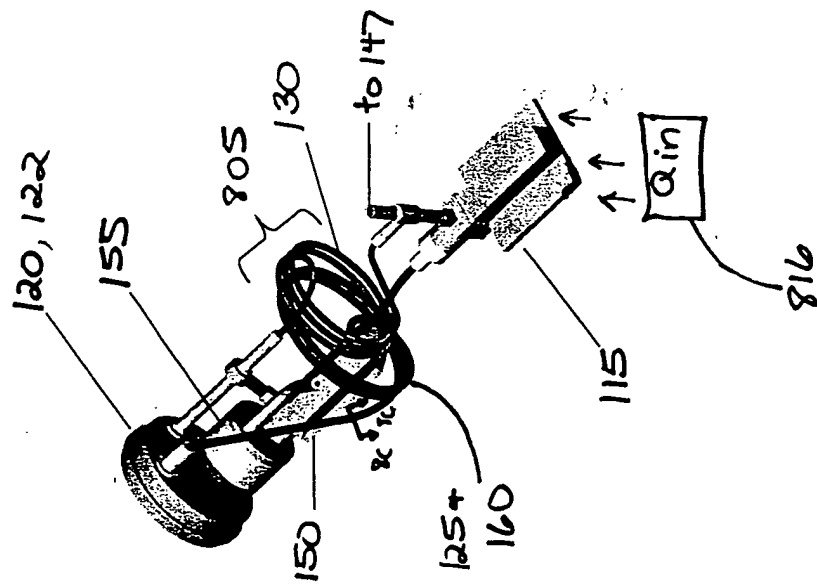


Fig. 6



800

Fig. 8A





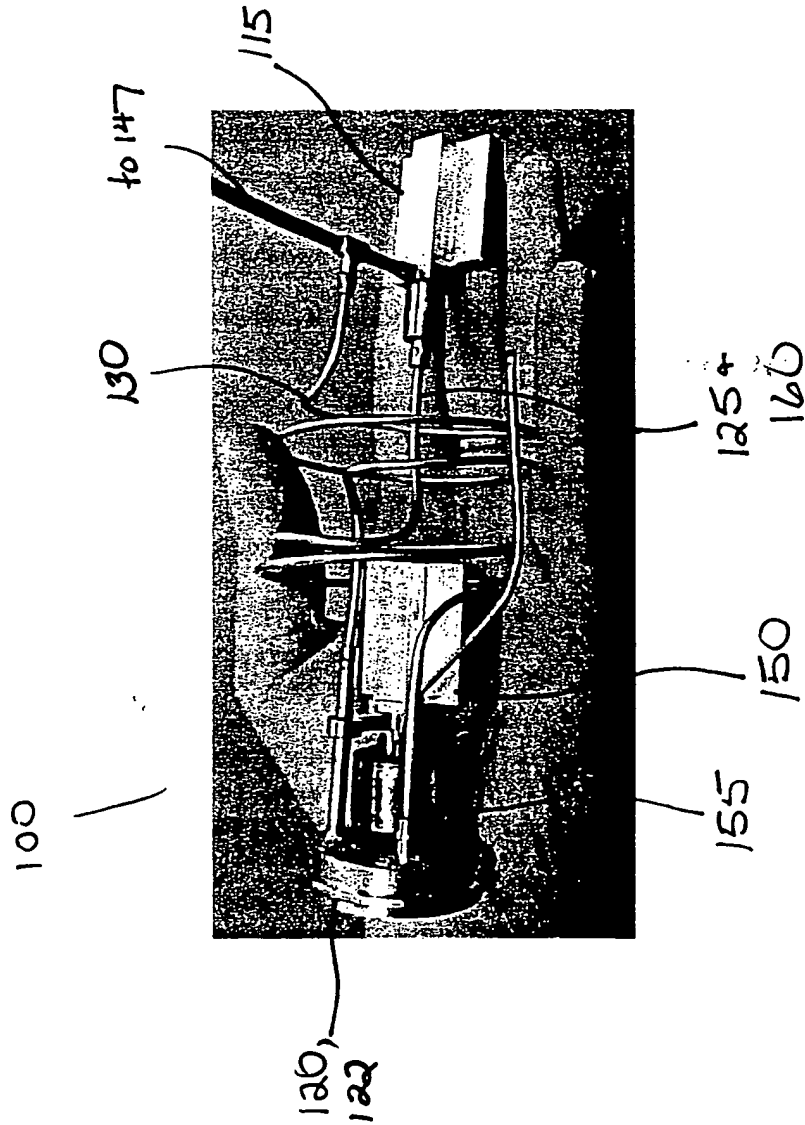
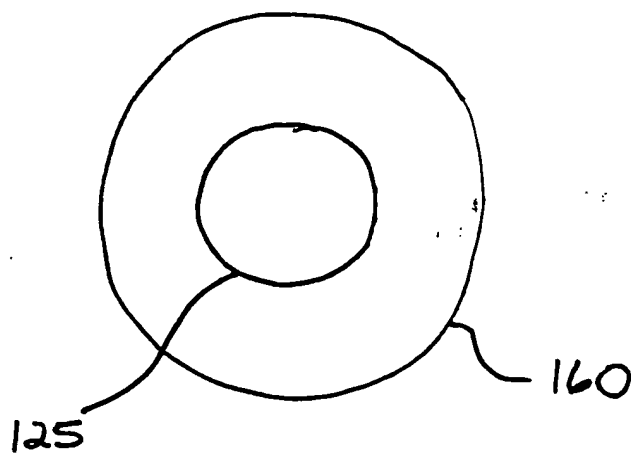


Fig. 8B

800



8C-8C

Fig. 8C

800

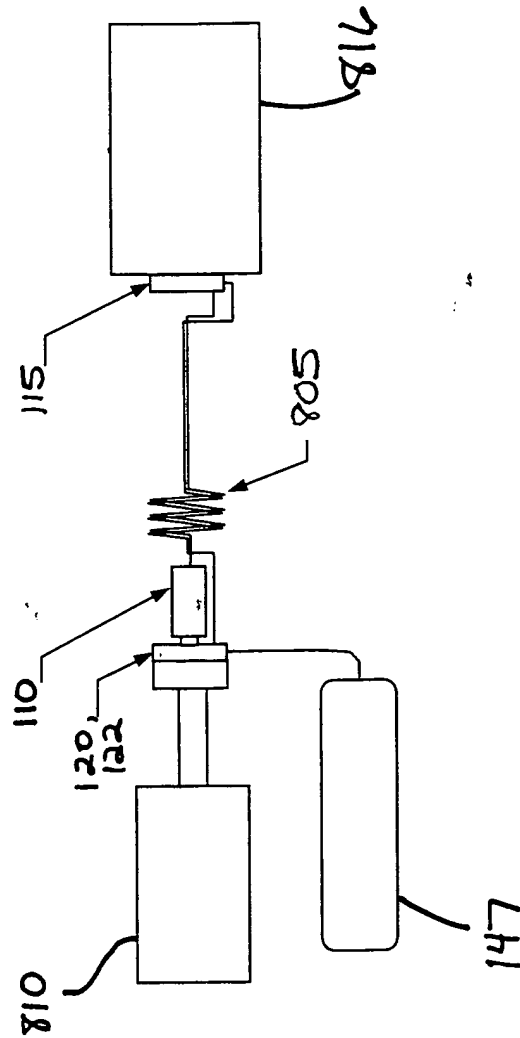


Fig. 8D

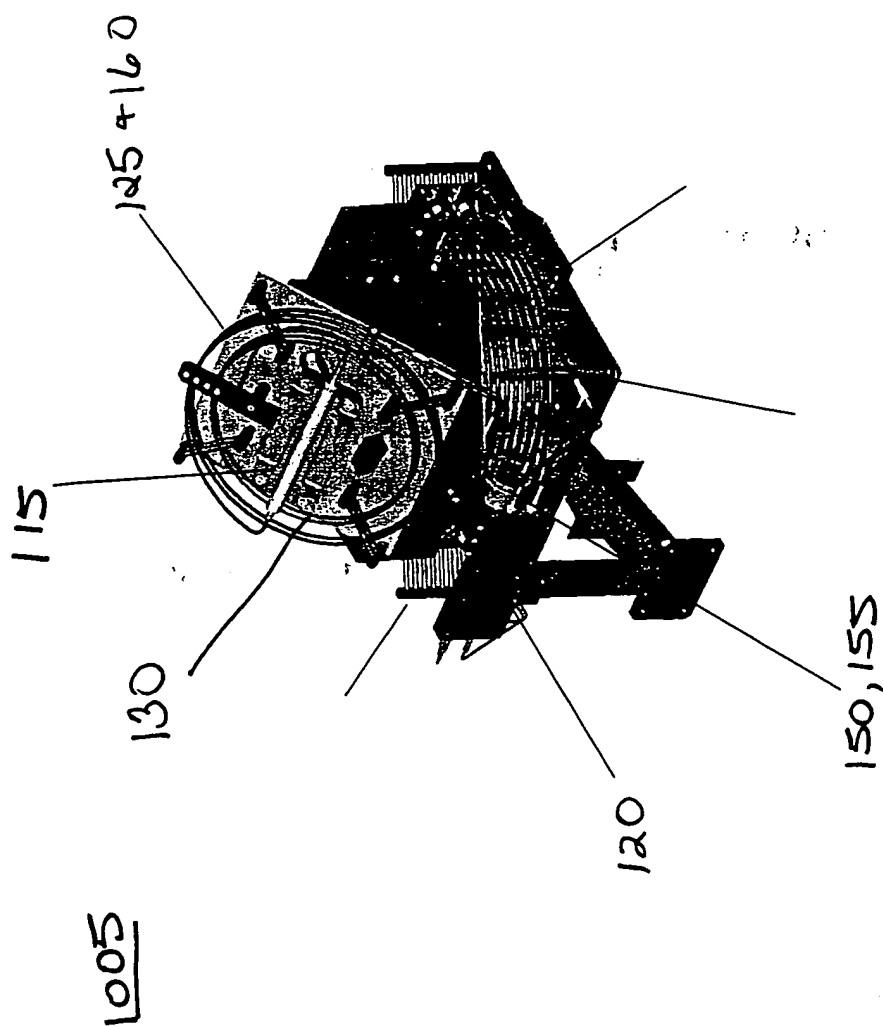
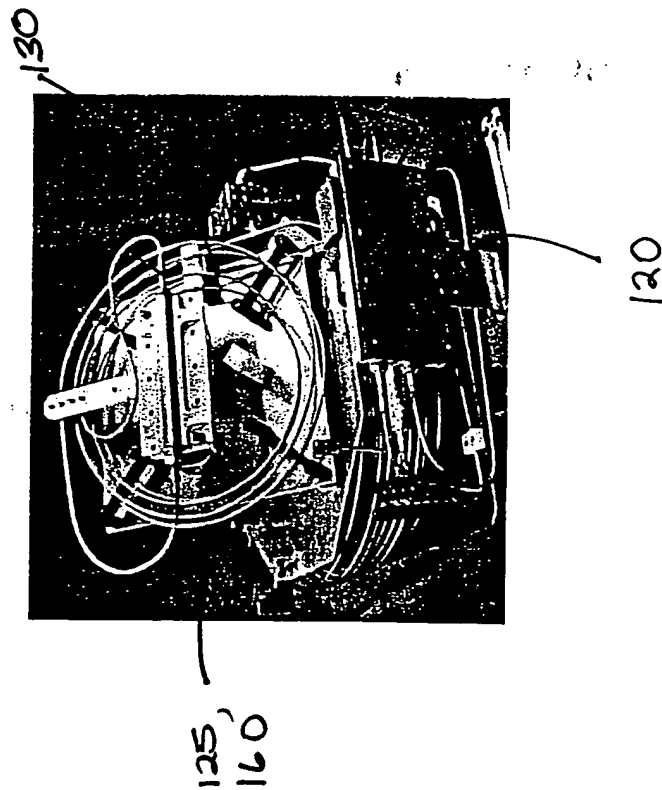


Fig. 9A

1005

Fig. 9B



1005

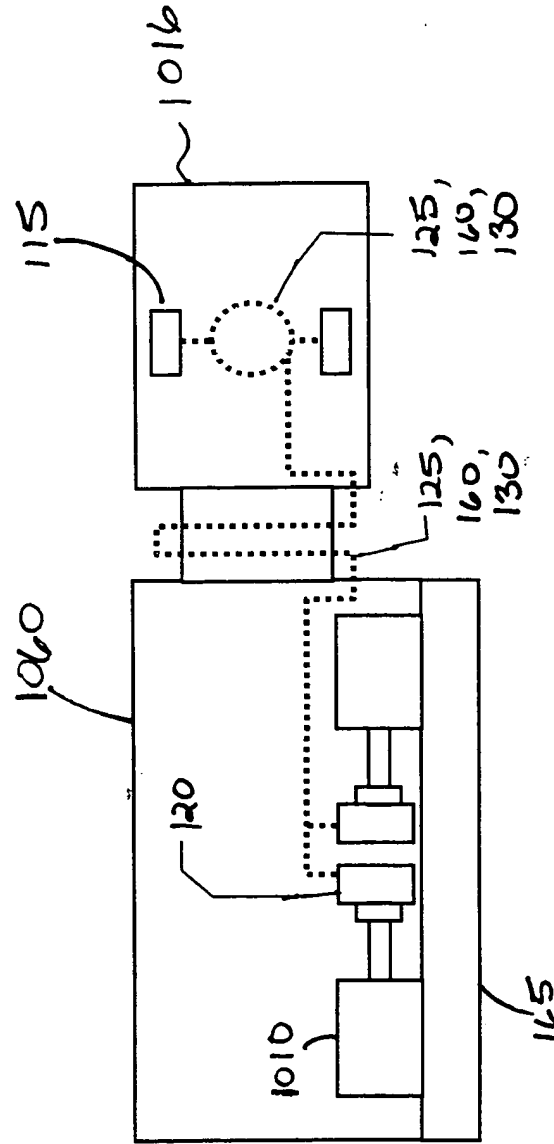


Fig. 9C

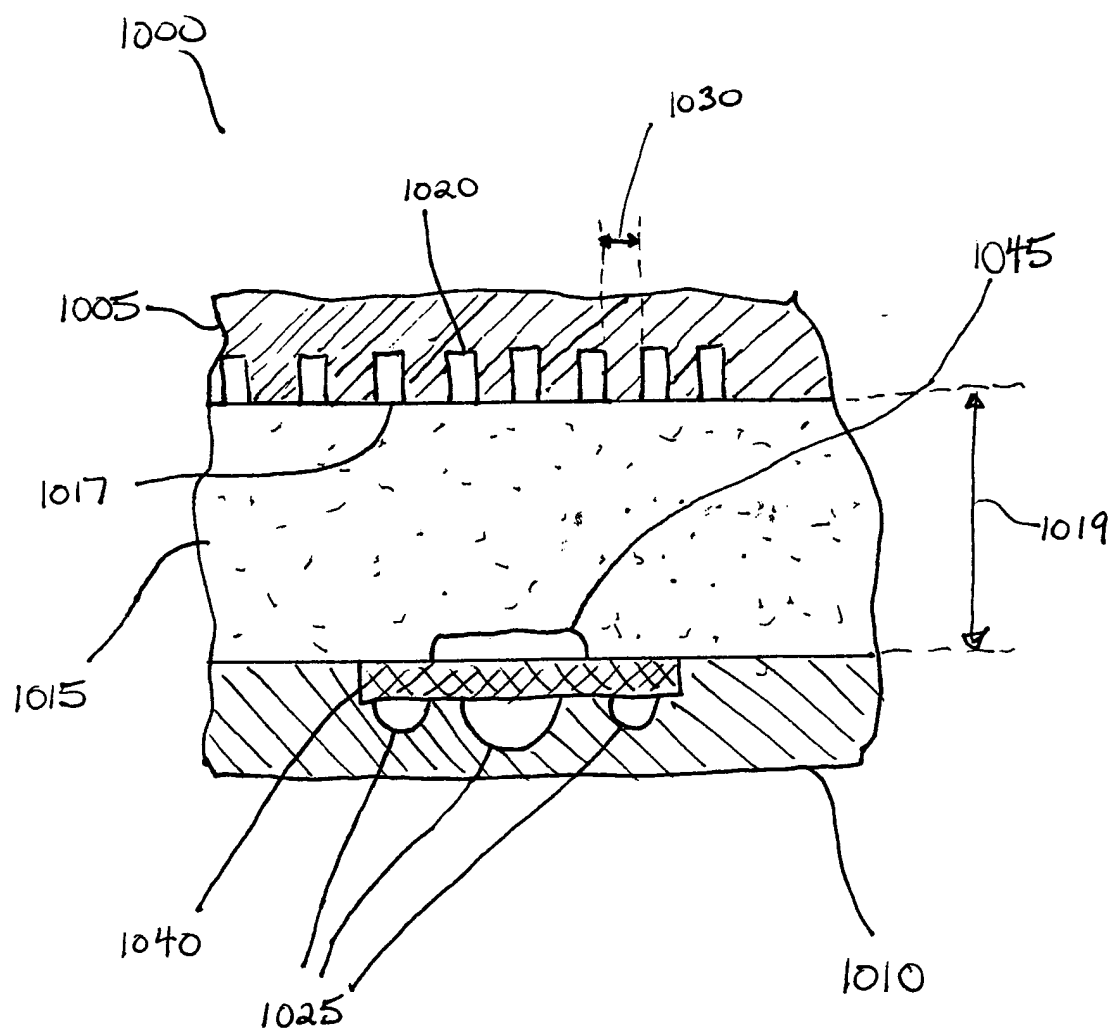


Fig. 10

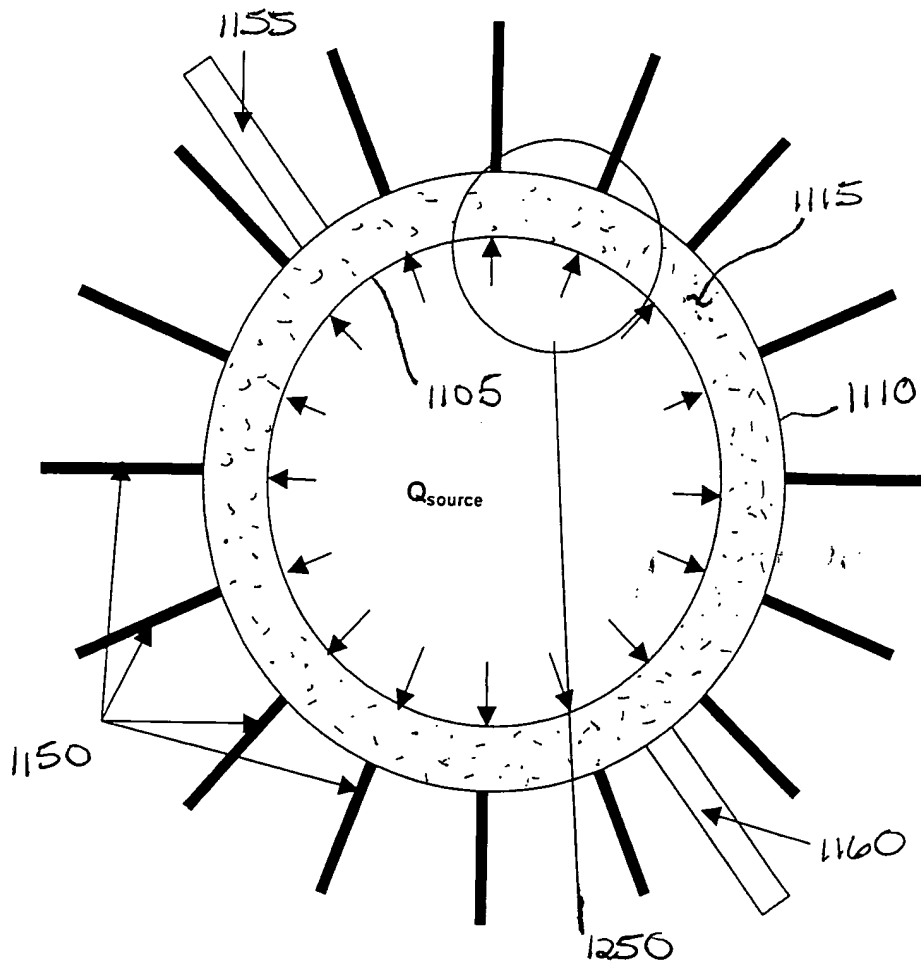


Fig. 12A

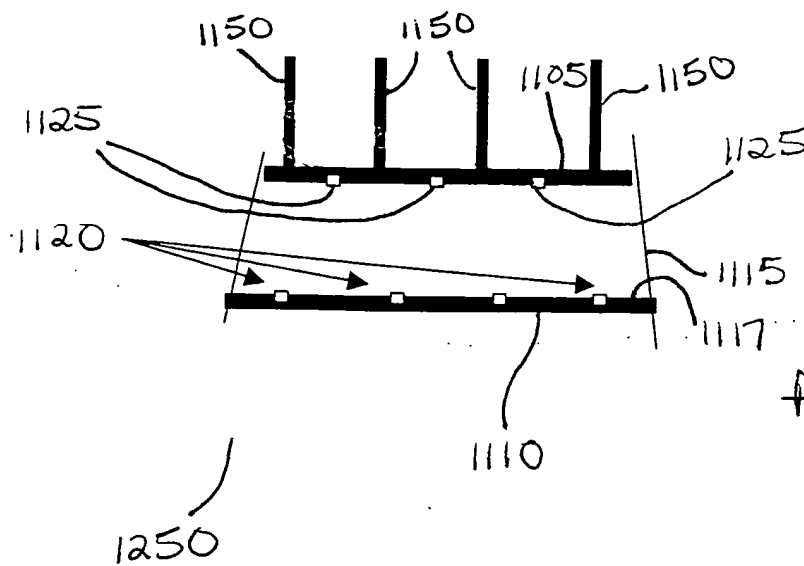


Fig. 12B



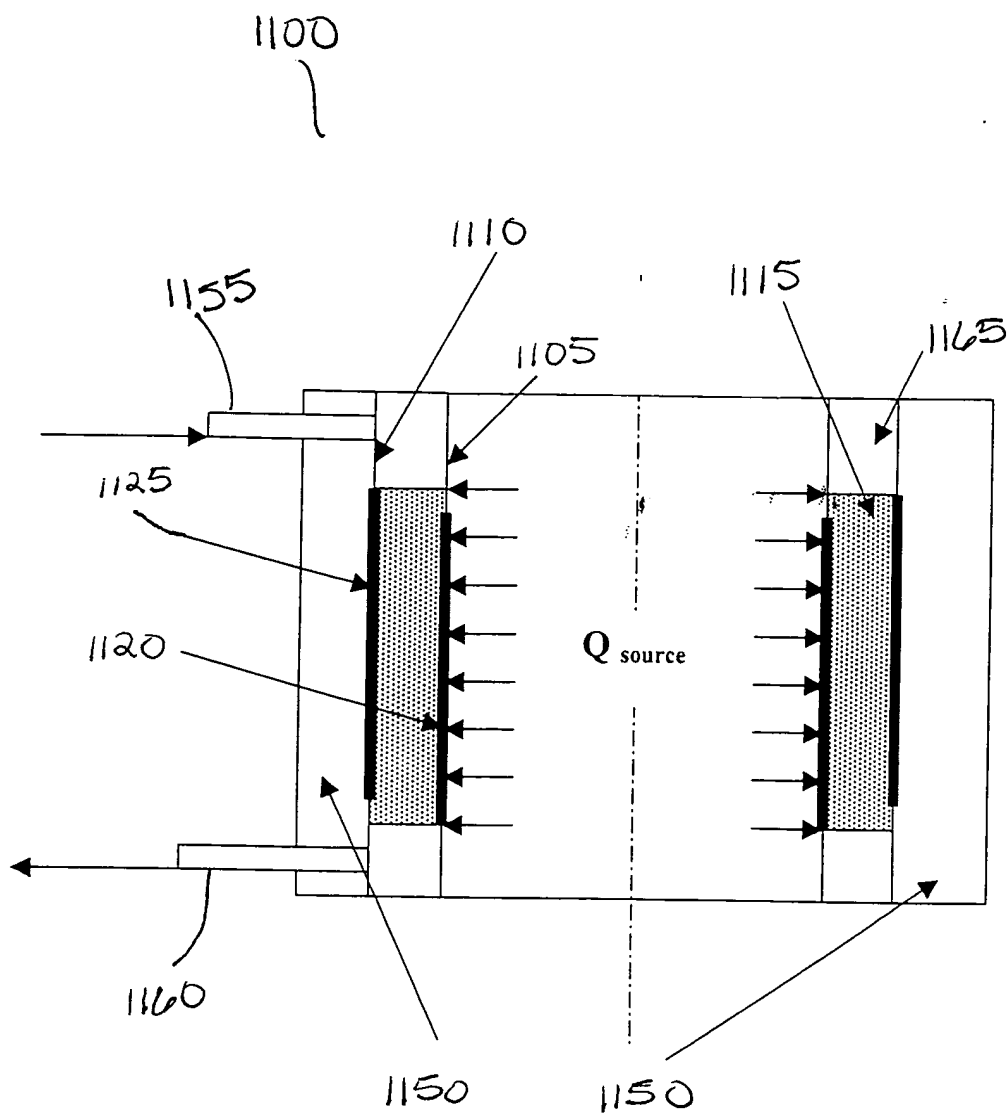


Fig. 11

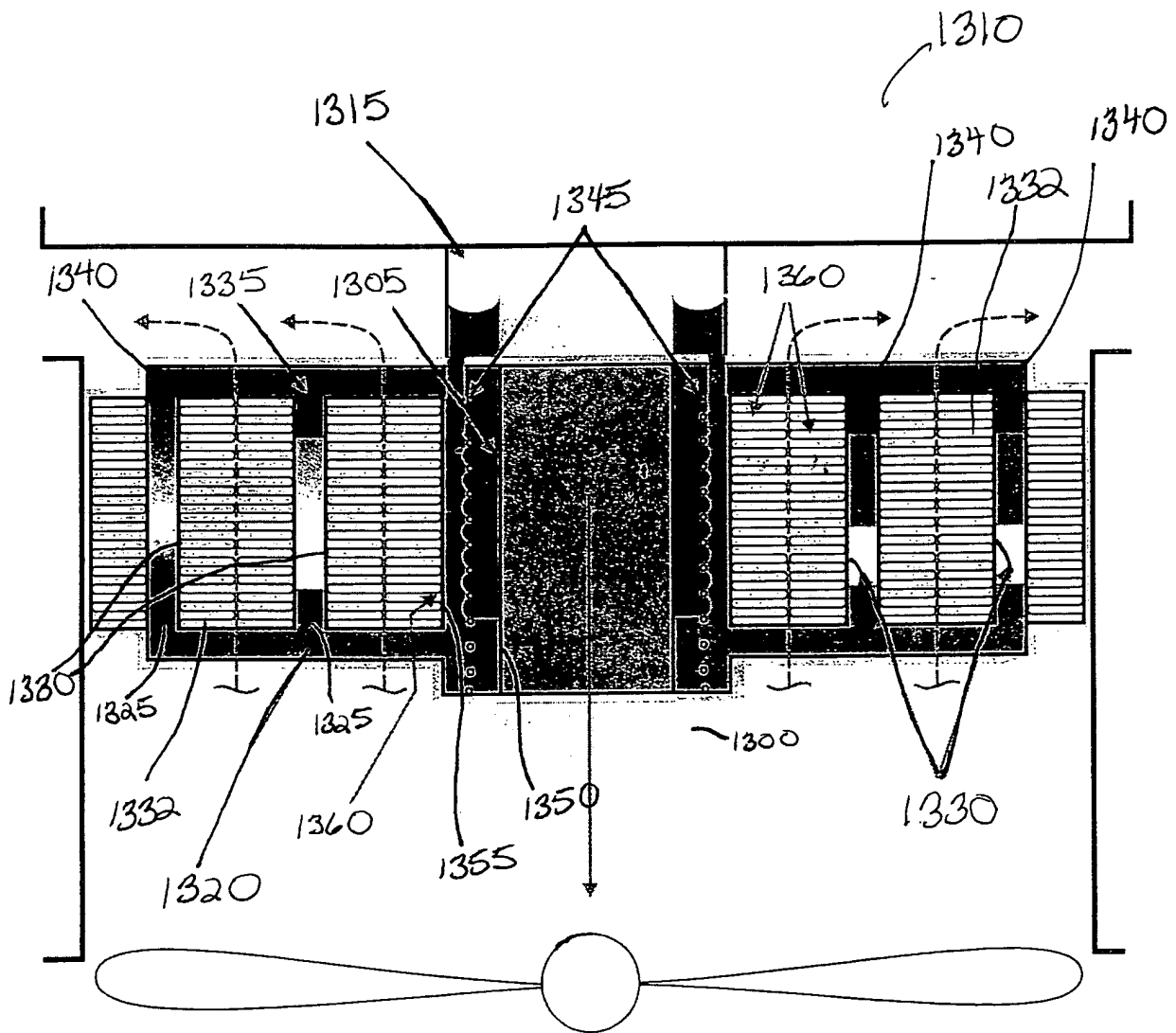
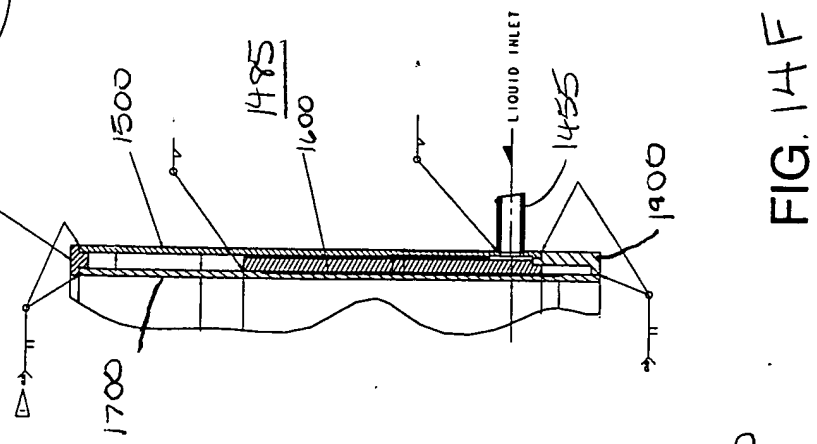
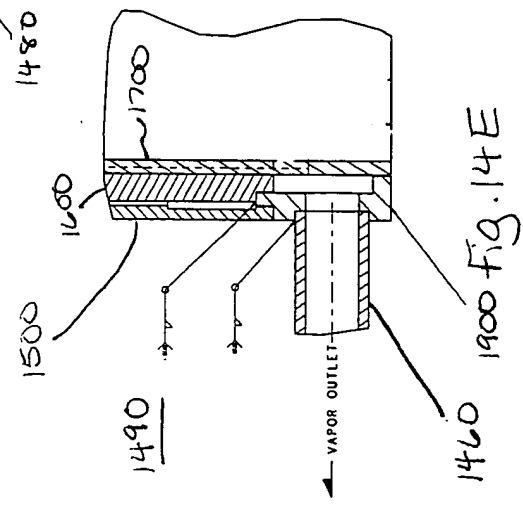
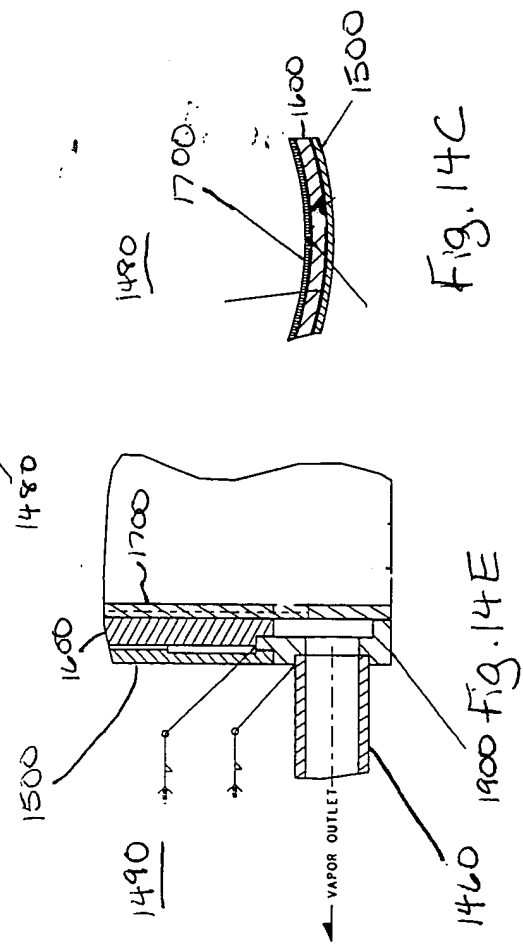
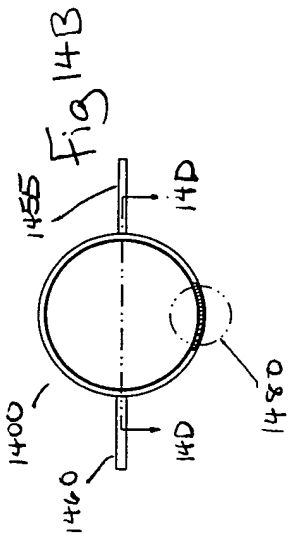
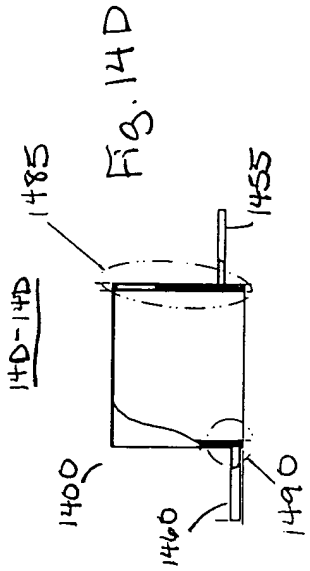
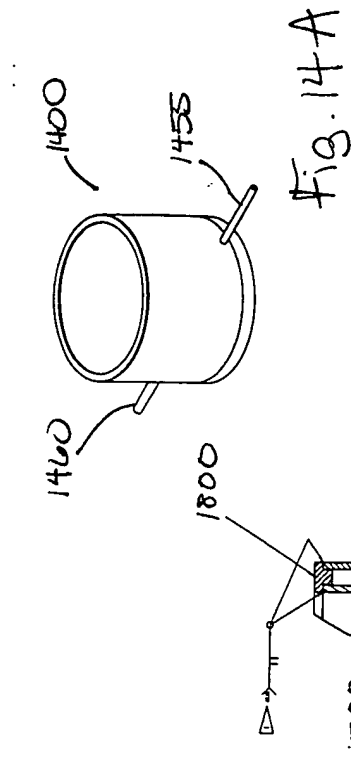
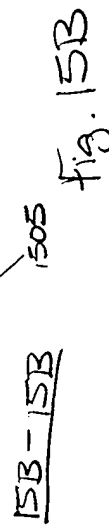
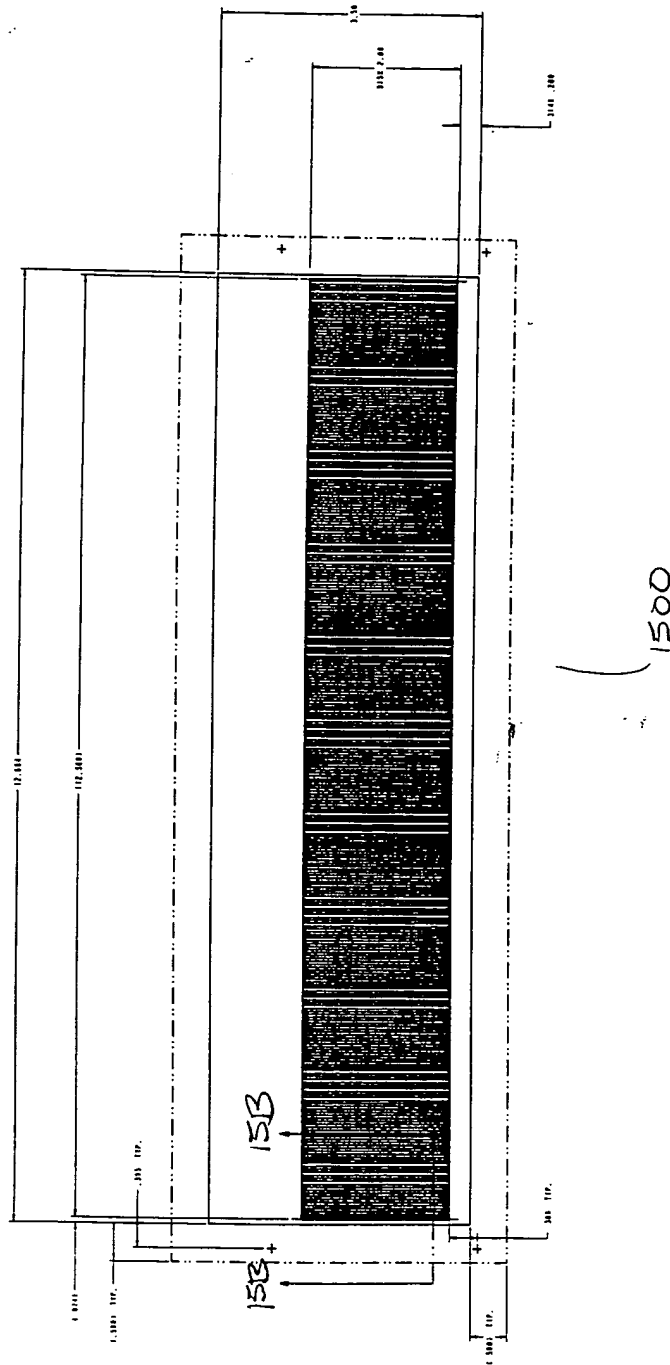
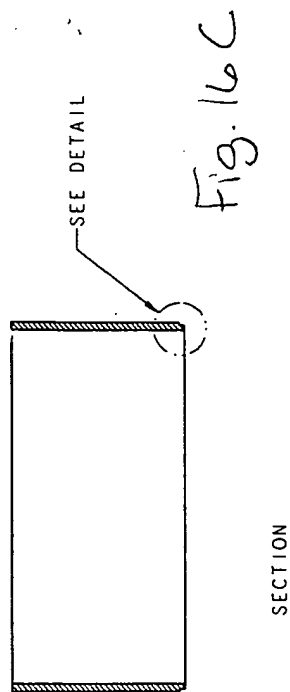
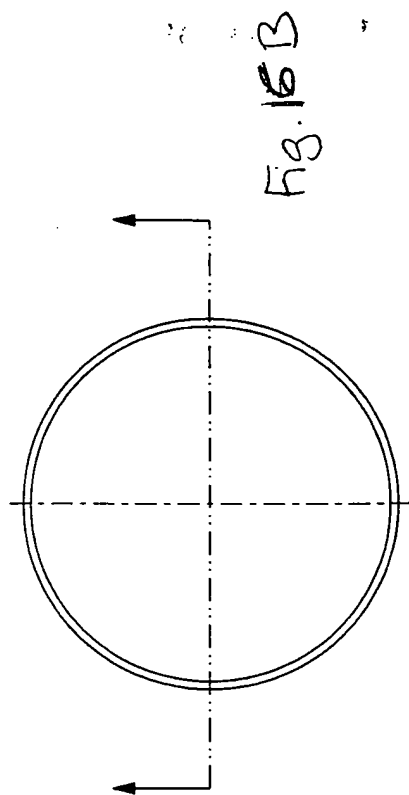
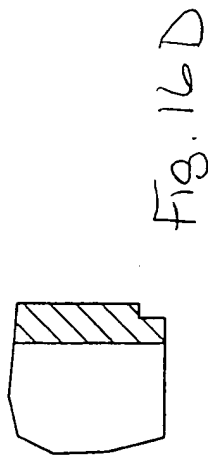
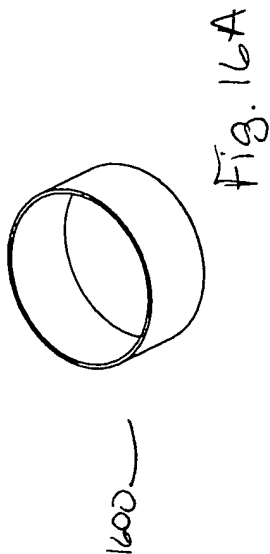
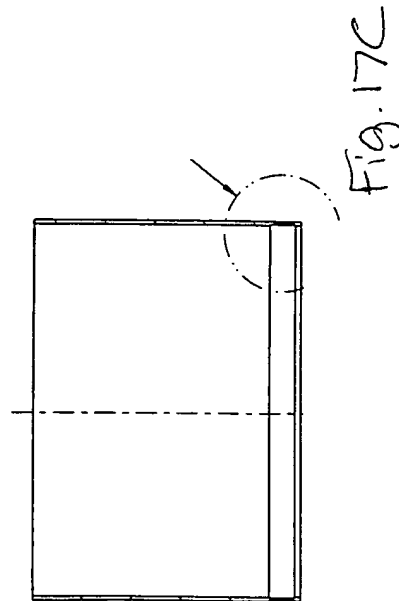
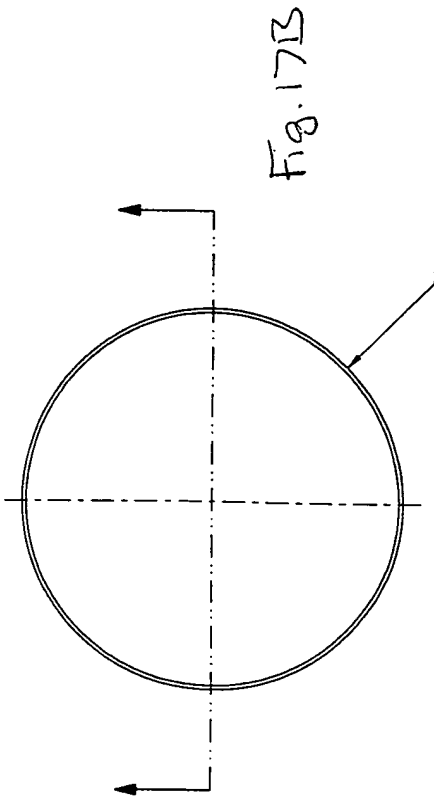
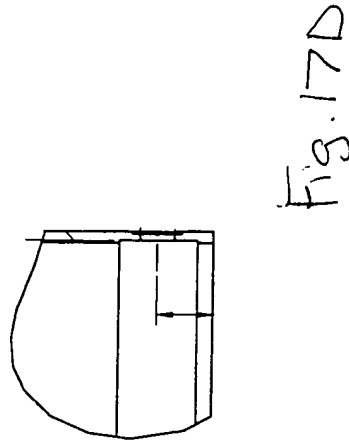
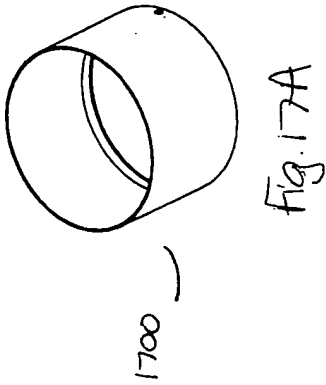


Fig. 13









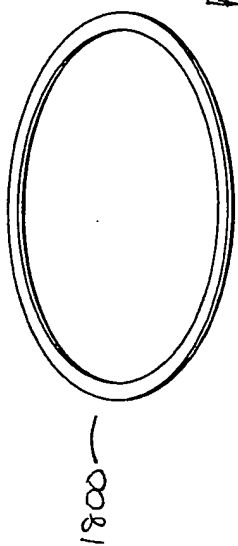


Fig. 18A

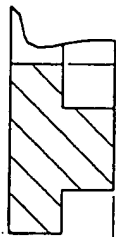


Fig. 18D

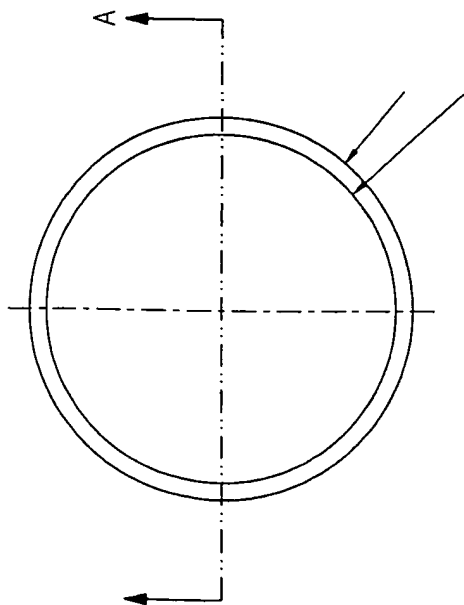


Fig. 18B



Fig. 18C

